

# МОЛЕКУЛЯРНО-ДИНАМИЧЕСКОЕ МОДЕЛИРОВАНИЕ ФИЛЬТРАЦИИ

Методами молекулярной динамики рассматривается процесс нестационарной фильтрации жидкости в модельной двумерной пористой системе. Показано существование эффекта запаздывания между изменением градиента концентрации частиц жидкости и скоростью фильтрационного потока, что является предпосылкой для обоснования феноменологических релаксационных теорий нестационарной фильтрации.

## Введение

Целью данного исследования является определение соотношения между скоростью фильтрации жидкости в пористой среде и градиентом давления. Для стационарных фильтрационных потоков оно известно как закон Дарси:

$$\bar{W} = -\frac{k}{\mu} \nabla p, \quad (1)$$

где  $\bar{W}$  – скорость фильтрации,  $p$  – давление,  $k$  – проницаемость среды,  $\mu$  – вязкость жидкости. А как будет выглядеть ситуация для нестационарных потоков? Ответ на этот вопрос актуален как для интерпретации результатов натурных исследований нестационарными гидродинамическими методами насыщенных жидкостями пористых пластов, так и при анализе фильтрации жидкостей в мезоскопических системах.

Ряд исследователей (Христианович, 2000; Молокович и др., 1980) для описания нестационарных потоков используют феноменологические модели фильтрации с уравнением эволюции в виде:

$$\bar{W}(\bar{x}, t) + \tau \frac{\partial \bar{W}(\bar{x}, t)}{\partial t} = -\frac{k}{\mu} \nabla p(\bar{x}, t), \quad (2)$$

где введен локально-неравновесный член релаксационного типа с характерным временем релаксации  $\tau$  (Соболев, 1997). В данной же работе процесс рассматривается на мезоскопическом уровне, путем моделирования движения тысяч частиц жидкости, взаимодействующих с частицами модельного твердого тела.

## Модель

Исследуемая нами система представляла собой прямоугольный «ящик», состоящий из трех отсеков. На границах этого ящика располагались жестко зафиксированные частицы. Отсек II (центральный) представлял собой, собственно, модель двумерной пористой среды, в которой размещались ячейки пористого скелета и поровые ячейки с частицами жидкости. Пример нескольких таких ячеек, располагающихся на границе между первым и вторым отсеками, показан на рис. 1. Черным цветом снизу и сверху показаны непроницаемые границы. Точки в пределах голубых ячеек (поровых каналов) показывают местоположение частиц жидкости, темные прямоугольники обозначают элементы пористого скелета. Первый и третий отсеки заполнены только жидкостью. Отсек III соприкасается, с одной стороны, с пористой средой (отсеком II), а с противоположной от него стороны находилась жесткая стенка. Первый же отсек, с одной стороны, также соприкасается с порис-

той средой, а с другой – с подвижным поршнем. Поверхность поршня представляет собой непроницаемую для частиц жидкости границу. Движение поршня приводит к сокращению объема первого отсека, занятого частицами жидкости, и повышению концентрации частиц в нем, что, в свою очередь, увеличивает концентрацию частиц жидкости в пористом отсеке и вызывает их перемещение – фильтрацию.

Взаимодействие частиц жидкости между собой осуществлялось посредством потенциала вида

$$U = \alpha (r - \rho)^2, \quad (3)$$

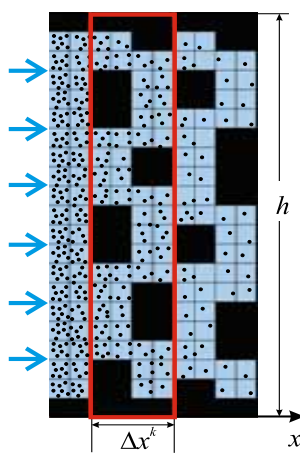
где параметр  $\rho$  принимал обычно значение 1, а параметр  $\alpha$  изменялся в пределах от 0 до 100 (обычно  $\alpha = 72$ ). Частицы пористого скелета взаимодействовали с частицами жидкости посредством потенциала Леннарда-Джонса

$$U = 4\varepsilon \left( \left( \frac{\sigma}{r} \right)^{12} - \left( \frac{\sigma}{r} \right)^6 \right), \quad (4)$$

где  $r$  – расстояние между частицами, а параметры потенциала (4) принимались равными  $\varepsilon = 1$ ,  $\sigma = 2^{-1/6}$ . Массы всех частиц принимались равными 1.

В пределах пористого отсека II мы выделяли прямоугольные подсистемы (пример которой показан на рис. 1 красным цветом) с площадью  $\Delta x^k \cdot h$ , где  $\Delta x^k$  – ширина  $k$ -го прямоугольника в направлении  $x$ , которое совпадает с направлением движения поршня (показано стрелками) и, в соответствии с геометрией задачи, направлением фильтрационного потока,  $h$  – высота прямоугольной подсистемы. Обычно  $\Delta x^k$  включало в себя от 1 до 8 фильтрационных ячеек. Сами ячейки представляли собой квадратные прямоугольники с размерами от  $2 \times 2$  до  $10 \times 10$ .

При молекулярно-динамическом моделировании методом частиц (Хокни и др., 1987; Хеерман, 1990), в результате решения уравнений Гамильтона, мы вычисляем в любой момент времени координаты каждой  $i$ -ой частицы и компоненты ее скорости  $(v_{xi}, v_{yi})$ . Временной шаг интегрирования был равен  $2 \cdot 10^{-3}$ . Далее мы рассчитываем  $V_x^k = \sum_{i=1}^{N_i^k} v_{xi} / N_i^k$  – среднюю скорость частиц жидкости в  $k$ -ой подсистеме  $\Delta x^k \cdot h$ , где  $N_i^k$  – полное число частиц в выбранном интервале  $\Delta x^k \cdot h$  в момент времени  $t$  (обычно  $N_0^k \sim 10^2$  в начальный момент времени  $t=0$ ).  $V_x^k$  принимается далее за скорость фильтрационного потока в применяемом нами мезоскопическом подходе. Отметим, что всюду в данном изложении используется истинная скорость фильтрационного потока  $V_x$ , а не применяемая, зачастую, для удобства фиктивная скорость фильтрации  $W_x = V_x m$ , где  $m$  – пористость блока II.



Аналогом давления выступала концентрация частиц  $\rho^k$  (площадная плотность частиц жидкости) в каждом  $k$ -ом элементе  $\Delta x^k \cdot h$  и вычислялась как  $\rho^k = N_t^k / N_0^k$ , где  $N_t^k$  – текущее число частиц в элементе  $\Delta x^k \cdot h$ , а  $N_0^k$  – начальное невозмущенное (нормировочное) число частиц. Градиент концентрации частиц (градиент “давления”) вычислялся как  $\nabla \rho^k = (\rho_{k+1}^k - \rho_{k-1}^k) / (x_{k+1} - x_{k-1})$ . Начальные значения координат частиц жидкости и их скоростей (импульсов) выбирались таким образом, чтобы суммарные значения компонент скоростей  $V_x^k, V_y^k$  в пределах каждой ячейки были равны нулю, также, как и моменты импульсов  $\sum_i r_i^k \times \bar{v}_i$ , а суммарные значения кинетической и потенциальной энергии были бы одинаковы для каждой ячейки, что исключало возникновение «нефильтрационных» внутренних перетоков частиц между элементами системы в начальный момент времени. В процессе эволюции системы, по мере продвижения поршня,  $V_x^k$  – компонента приобретает ненулевое значение, компоненты же  $V_y^k$  колеблются вблизи нулевых значений.

Рис. 1. Пример модельной пористой среды

Отметим, что в исследуемой системе движение поршня с постоянной скоростью  $V_{\text{п}}$  не приводит к постоянному расходу жидкости на границе I и II отсеков: число частиц жидкости, пересекающих в единицу времени границу между отсеками, изменяется. Некоторое время такой расход равен нулю, затем возмущение концентрации, создаваемое в I блоке, достигает границы I и II блоков, далее расход непрерывно нарастает.

### Результаты

Вычислительные эксперименты проводились нами для систем разных размеров, при различных значениях параметров потенциалов (3) и (4), различных скоростях движения поршня, создающего давление. Качественно, картина всюду была одинаковой. Так, на рис.2 показано изменение во времени концентрации частиц в системе с поровыми размерами ячеек  $2 \times 2$  для прямоугольных участков, вбирающих в себя подсистемы  $\Delta x^k \cdot h$ , где  $\Delta x^k$  охватывает участок с координатами

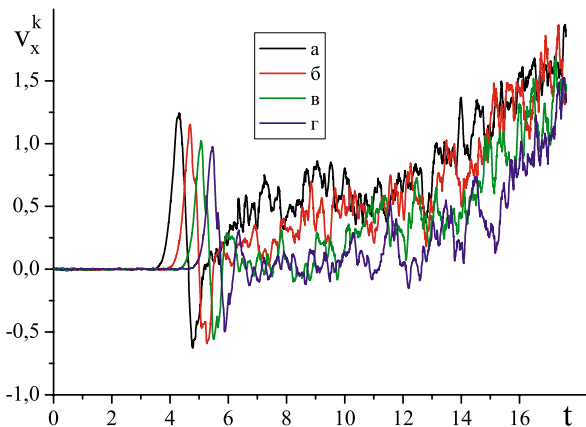


Рис. 3. Изменение во времени скорости  $V_x^k$  для прямоугольных подсистем  $\Delta x^k \cdot h$ , где ширина прямоугольника  $\Delta x$  охватывает ячейки с координатами  $0 \leq x < 4$  (а),  $4 \leq x < 8$  (б),  $8 \leq x < 12$  (в),  $12 \leq x < 16$  (г).

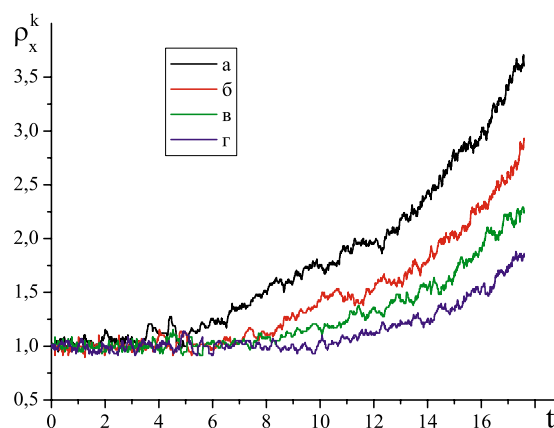


Рис. 2. Изменение во времени концентрации  $\rho_x^k$  для прямоугольных подсистем  $\Delta x^k \cdot h$ , где ширина прямоугольника  $\Delta x$  охватывает ячейки с координатами  $0 \leq x < 4$  (кривая а),  $4 \leq x < 8$  (б),  $8 \leq x < 12$  (в),  $12 \leq x < 16$  (г).

тами  $0 \leq x < 4, 4 \leq x < 8, 8 \leq x < 12, 12 \leq x < 16$ . Мы видим, что рост концентрации частиц наблюдается, начиная с некоторого порогового момента  $t_{\text{пор}} \sim 4$ , когда возмущение концентрации частиц в отсеке I достигает границы с отсеком II.

Аналогично выглядит (рис. 3) и картина для  $x$ -компонент средних скоростей  $V_x^k$  этих участков. Поначалу распространяется возмущение типа ударной волны с уменьшающейся амплитудой по мере распространения вглубь отсека II. Скорость распространения этой волны  $V_{\text{уд}}^0 \sim 10$ , что существенно больше скорости фильтрационного потока  $V_x^k$ .

Со временем устанавливается относительно стабильный фильтрационный поток, возникает распределение концентрации частиц, убывающее по мере удаления от границы раздела I и II блоков. Отметим, что по мере продвижения вглубь пористого образца ударные волны рассеиваются, и их амплитуда достаточно быстро падает на расстояниях  $L \sim 20$ . В целом, наблюдаемая картина соответствует эффектам рассеяния упругих колебаний на неоднородностях среды.

Таким образом, в модельной пористой системе возникает чередование изменений концентраций и скоростей потоков, связанных друг с другом, при этом между изменениями этих величин в пределах выделенной ячейки пористого пространства возникает временная задержка между  $V_x^k$  и  $\nabla \rho_x^k$ . Это видно из рис. 4, несмотря на значительные флуктуации  $V_x^k$  и  $\nabla \rho_x^k$ , что связано с относительной малостью числа частиц и малостью размеров исследуемой системы. При этом можно выделить мелкомасштабные флук-

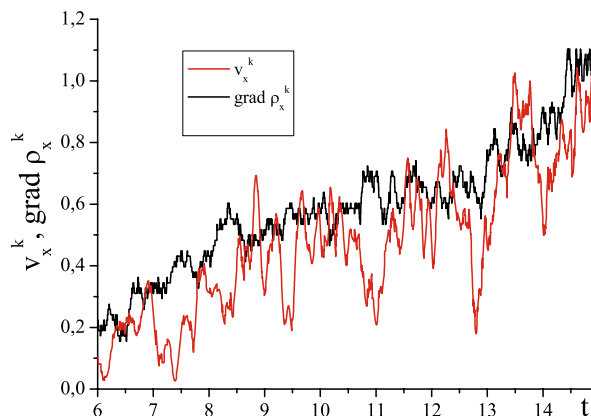


Рис. 4. Временная зависимость скорости фильтрации  $V_x^k$  и градиента концентрации  $\nabla \rho_x^k$  для прямоугольной подсистемы при  $0 \leq x < 4$ .

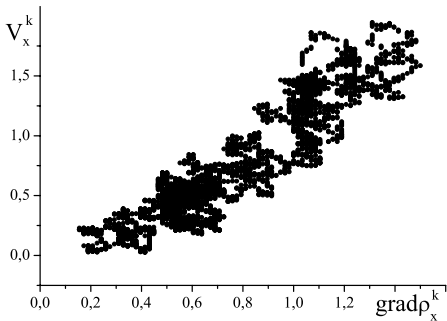


Рис. 5. Зависимость скорости фильтрации от градиента концентрации для прямоугольной подсистемы  $\Delta x^k \cdot h$  при  $4 \leq x < 8$ .

туации рассматриваемых величин с резкими изменениями их значений в диапазоне времен  $\Delta t_s^f < 10^{-2}$  и крупномасштабные флуктуации, охватывающие значительные изменения рассматриваемых величин на временах  $\Delta t_b^f \sim 0.1 - 0.5$ .

На рисунке 5 показаны корреляции значений расчетных скоростей  $V_x^k$  в определенные моменты времени и соответствующих этим моментам времени значений градиентов концентрации  $\nabla \rho_x^k$ . Мы видим, что, хотя и с учетом довольно больших разбросов значений вследствие флуктуаций, большим значениям градиентов соответствуют большие значения скоростей потоков, и можно предположить, что после статистического усреднения по значительному количеству вычислительных экспериментов будет получена зависимость между  $V_x^k$  и  $\nabla \rho_x^k$ , близкая к линейной, соответствующей закону Дарси.

Рассмотрим подробно временные корреляции между значениями скоростей  $V_x^k$  и градиентами концентрации  $\nabla \rho_x^k$  для прямоугольной подсистемы  $\Delta x^k \cdot h$  при  $4 \leq x < 8$ . Для этого рассчитаем корреляционные функции следующего вида:

$$C(\tau_c) = \frac{1}{N_M} \langle \nabla \hat{\rho}_x^k(t), \hat{V}_x^k(t + \tau_c) \rangle, \quad (5)$$

где  $\nabla \hat{\rho}_x^k(t) = \nabla \rho_x^k(t) - \overline{\nabla \rho_x^k(t)}$ ,  $\hat{V}_x^k(t) = V_x^k(t) - \overline{V_x^k(t)}$ ,  $N_M$  — нормировочный множитель, угловые скобки означают усреднение по времени  $t$ , а за средние значения величин градиентов плотностей  $\overline{\nabla \rho_x^k(t)}$  и скоростей  $\overline{V_x^k(t)}$  в момент времени  $t$  принимаются значения линейных трендов этих величин, построенных на протяжении временных интервалов  $\Delta t_T \sim 1$ . Мы видим, что максимальная корреляция наблюдается на временах  $\tau_c \sim 0.2 - 0.4$ .

Аналогичная картина наблюдается и для уменьшенного участка  $\Delta x^l$ , охватывающего прямоугольную подсистему с координатами  $4 \leq x < 6$ . Максимум корреляций наблюдается при  $\tau_c \sim 0.3$ . Данное значение интервала времени можно принять за характерное время релаксационного процесса  $\tau^*$ .

Заметим, что в макроскопических системах могут существовать более острые пики корреляционных функций

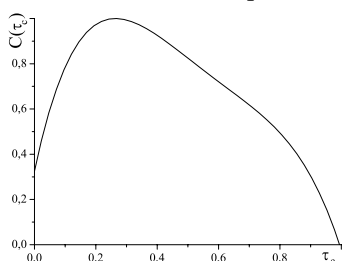


Рис. 6. Корреляционная функция  $C(\tau_c)$ .

при условии, что образующие их подсистемы мезоскопического уровня имеют идентичные корреляционные функции. В общем же случае, очевидно, следует говорить о спектре времен релаксации.

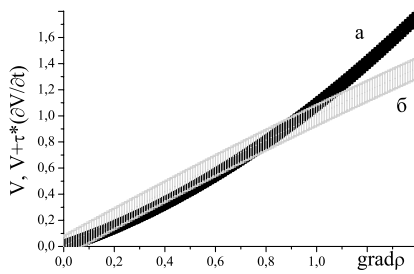


Рис. 7. Линии трендов зависимостей  $V \leftrightarrow \nabla \rho$  (кривая а) и  $V + \tau^* \frac{\partial V}{\partial t} \leftrightarrow \nabla \rho$  при  $\tau^* = 0.3$  (б).

Рассмотрение корреляционных функций, аналогичных (5), но для компонент скоростей фильтрационного потока, измеряемых в соседних прямоугольных подсистемах, показывает, что такие корреляции существуют на расстояниях  $L_c < 10$  и исчезают на больших расстояниях.

Теперь вернемся к рис. 5 и построим новый график не только в переменных  $V \leftrightarrow \nabla \rho$ , но и в переменных  $V + \tau^* \frac{\partial V}{\partial t} \leftrightarrow \nabla \rho$

при  $\tau^* = 0.3$ . Производная  $\frac{\partial V(x,t)}{\partial t}$  легко вычисляется по известным значениям  $V(x,t)$ . Чтобы полученная картина не выглядела как хаотический набор точек, подобно рис. 5, изобразим на рисунке только линии трендов для зависимостей  $V \leftrightarrow \nabla \rho$  и  $V + \tau^* \frac{\partial V}{\partial t} \leftrightarrow \nabla \rho$  (рис. 7). Ширина линий тренда, показанных на рисунке, пропорциональна величине флуктуаций  $V$  и  $V + \tau^* \frac{\partial V}{\partial t}$  для фиксированных значений  $\nabla \rho$ .

Мы видим, что в новых координатах корреляционная зависимость  $\nabla \rho \leftrightarrow V + \tau^* \frac{\partial V}{\partial t}$  для случая  $\tau^* = 0.3$  значительно более близка к линейной, нежели для случая  $\tau^* = 0$ , особенно при больших значениях  $\nabla \rho$ . Данное обстоятельство, на наш взгляд, может служить дополнительным подтверждением необходимости учета релаксационных процессов в условиях нестационарной фильтрации, по крайней мере, на малых временах наблюдения в мезоскопических системах.

### Литература

Христианович С.А. *Избранные работы*. М.: изд-во МФТИ, 2000.  
 Молокович Ю.М., Непримеров Н.Н., Пикуза В.И., Штанин А.В. *Релаксационная фильтрация*. Казань: изд-во Казанского ун-та, 1980.  
 Соболев С.Л. Локально-неравновесные процессы модели процессов переноса. *Успехи физических наук*. 167. 1997. №10. 1095-1106.  
 Хокни Р., Иствуд Дж. *Численное моделирование методом частиц*. М.: Мир, 1987.  
 Хеерман Д.В. *Методы компьютерного эксперимента в теоретической физике*. М.: Наука, 1990.

### М.Н. Овчинников

## ДИНАМИКА ЖИДКОСТЕЙ И КОНТРОЛЬ РЕСУРСОВ ПОДЗЕМНОЙ ГИДРОСФЕРЫ



В книге рассматриваются вопросы контроля фильтрационных потоков в подземной гидросфере посредством использования гидродинамических, акустических, теплофизических методов и путем исследования смещений и деформаций горных пород, возникающих в условиях изменения давления жидкости в пористых пластах. Приводятся результаты компьютерного молекулярно-динамического моделирования процесса нестационарной фильтрации, позволяющие на микроскопическом уровне обосновать использование нелокальных теорий для описания исследуемого процесса. Предназначена для специалистов в области подземной гидродинамики.

ISBN 5-98180-110-7 Казань: Казанский государственный университет, 2004. - 140 с.